

### 3,4-二氢-海南新碱类似物的合成及抗溃疡作用<sup>\*</sup>

刘瑞武 高由松 张守仁 梁晓天

(中国医学科学院、中国协和医科大学药物研究所, 北京 100050)

**摘要** 为考察 3,4-二氢-海南新碱类似物 C<sub>1</sub> 取代基对化合物抗溃疡活性的影响, 设计并合成了 13 对共 26 个新的 3,4-二氢-海南新碱类似物, A, B 互为非对映异构体, 大部分化合物在大鼠冷应激溃疡模型中有一定的抗溃疡活性, 其中 IX<sub>3</sub>A, IX<sub>7</sub>A, IX<sub>8</sub>A, IX<sub>12</sub>A, IX<sub>12</sub>B, IX<sub>13</sub>A 6 个化合物表现较强活性, 超过西咪替丁。对构效关系进行了初步分析。

**关键词** 3,4-二氢-海南新碱类似物; 抗溃疡活性; 构效关系

消化性溃疡是一种多发病、常见病, 目前临床治疗以 H<sub>2</sub>受体拮抗剂为主, 但这类药对有些溃疡无效、复发率高, 长期使用造成胃酸缺乏, 有利于细菌生长, 使机体内环境失调。

海南新碱(I)是海南粗榧中的一种微量生

物碱<sup>[1]</sup>, 在筛选中发现, 其氢化物 II<sub>A</sub> 和 II<sub>B</sub> 有较强的抗溃疡作用, 并且作用特点与 H<sub>2</sub>受体拮抗剂有所不同<sup>[2]</sup>。初步研究表明, C<sub>1</sub>取代基侧链及其立体构型(非对映异构体 A, B)对化合物的生物活性影响较大, 因此设想在 C<sub>1</sub>引入

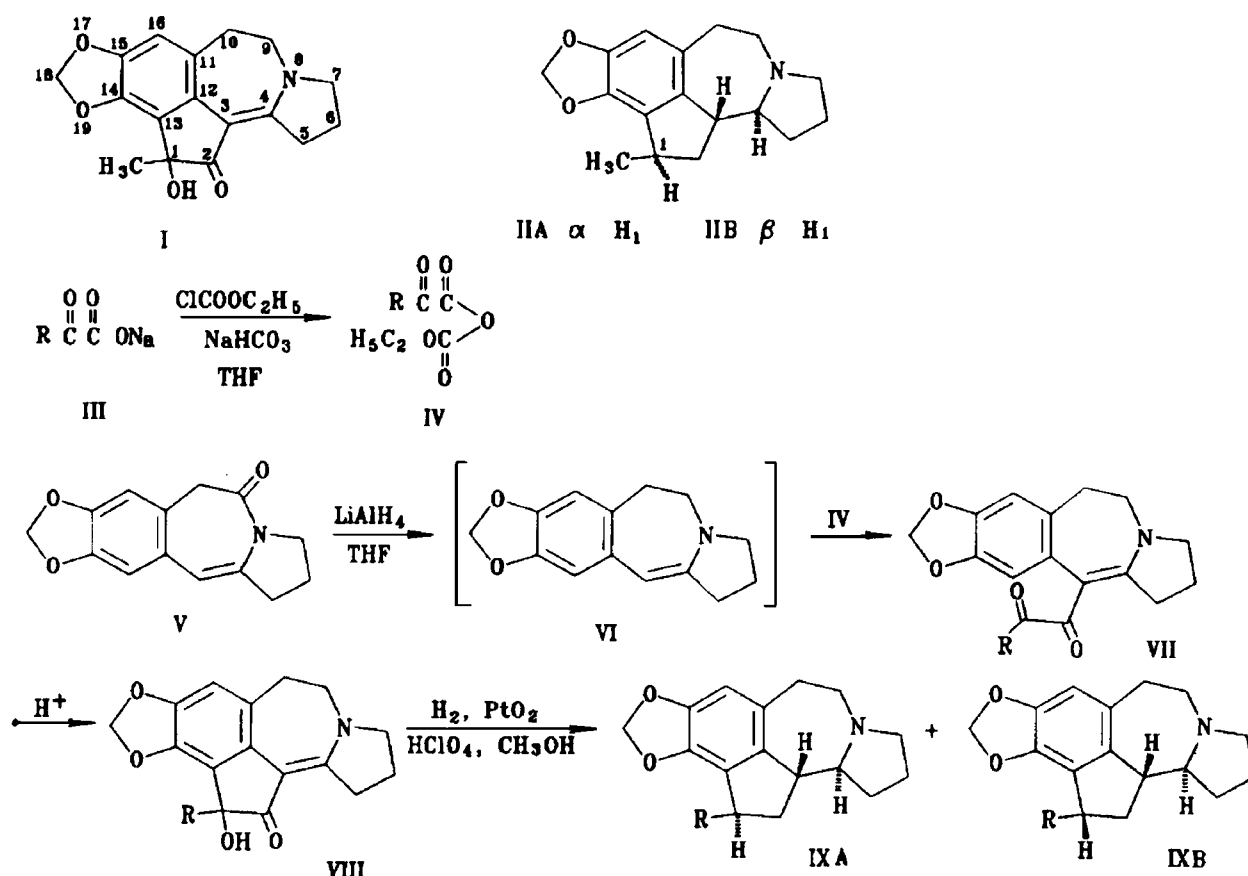


Fig 1 Synthesis of 3,4-dihydro-hainanensine analogs IXA and IXB.

不同的取代基来考察取代基的极性变化、空间排列、亲脂性的变化、电性效应等对活性的影响,以期找到抗溃疡谱广、复发率低、毒副作用小的新型抗溃疡药。

因此,本文以海南新碱氢化物 IIA 及 IIB 为先导物设计并合成了一系列新的 3,4-二氢海南新碱类似物 IXA 和 IXB,合成路线见图 1,即  $\alpha$ -酮酸钠 III(由相应的  $\alpha$ -酮酸<sup>[3]</sup>在乙醇溶液中与氢氧化钠的乙醇溶液冰浴下成盐)与氯甲酸乙酯生成混合酸酐 IV 后,与由酰胺 V<sup>[4]</sup>经

四氢铝锂还原得到的中间体烯胺 VI 反应生成双酮 VII,VII 在酸性条件下环合为酮醇 VIII,VIII 经催化氢化得到一对消旋的非对映异构体 A,B。共合成了 13 对 26 个目标化合物,所合成的化合物均未见文献报道,结构经 MS,<sup>1</sup>H NMR 证实,非对映异构体 A,B 的相对立体构型参照本所以前的工作确定<sup>[5]</sup>,其中 3,4-位上的氢呈反式关系。其理化及分析数据见表 1。

**Tab 1 Properties and analytical data of target compounds**

Compd No	R	MW	MP /°C	Yield /% <sup>a</sup>	MS	<sup>1</sup> H NMR / δ
IX <sub>1</sub> A	n-C <sub>6</sub> H <sub>13</sub> -	341	51~53	25.2	341(M <sup>+</sup> )	6.24(s, 1H, 16-H), 5.86(q, 2H, 2×18-H), 3.50~2.96(m, 6H), 2.70(d, 1H), 2.60~2.26(m, 2H), 2.26~1.52(m, 8H), 1.24(brs, 8H), 1.00~0.76(m, 3H)
IX <sub>1</sub> B	n-C <sub>6</sub> H <sub>13</sub> -	341	67~68	44.6	341(M <sup>+</sup> )	6.24(s, 1H, 16-H), 5.84(q, 2H, 2×18-H), 3.40~2.80(m, 6H), 2.72(d, 1H), 2.60~1.56(m, 10H), 1.56~1.0(brs, 8H), 1.00~0.76(m, 3H)
IX <sub>2</sub> A	n-C <sub>10</sub> H <sub>21</sub> -	397	42~44	16.1	397(M <sup>+</sup> )	6.40(s, 1H, 16-H), 5.82(q, 2H, 2×18-H), 3.40~2.88(m, 6H), 2.68(d, 1H), 2.62~1.20(m, 27H), 1.00~0.70(m, 2H)
IX <sub>2</sub> B	n-C <sub>10</sub> H <sub>21</sub> -	397	52~54	30.1	397(M <sup>+</sup> )	6.46(s, 1H, 16-H), 5.86(q, 2H, 2×18-H), 3.40~1.10(m, 34H), 1.00~0.76(m, 2H)
IX <sub>3</sub> A	C <sub>5</sub> H <sub>9</sub> -	325	84.5~86.5	17.4	325(M <sup>+</sup> )	6.46(s, 1H, 16-H), 5.86(s, 2×18-H), 3.40~2.80(m, 4H), 2.80~1.10(m, 20H)
IX <sub>3</sub> B	C <sub>5</sub> H <sub>9</sub> -	325	107~109	18.5	325(M <sup>+</sup> )	6.44(s, 1H, 16-H), 5.84(s, 2×18-H), 3.46~2.90(m, 4H), 2.90~1.00(m, 20H)
IX <sub>4</sub> A	C <sub>6</sub> H <sub>11</sub> -	339	73~75	21.8	339(M <sup>+</sup> )	6.35(s, 1H, 16-H), 5.84(brd, 2H, 2×18-H), 3.36~2.76(m, 6H), 2.78~0.90(m, 20H)
IX <sub>4</sub> B	C <sub>6</sub> H <sub>11</sub> -	339	133~135	32.2	339(M <sup>+</sup> )	6.44(s, 1H, 16-H), 5.86(q, 2H, 2×18-H), 3.40~2.84(m, 6H), 2.70(brd, 1H), 2.60~0.80(m, 19H)
IX <sub>5</sub> A	-Ph-OMe-p	363	111~113	12.3	363(M <sup>+</sup> )	6.98(dt, J=9 Hz, 2H, 2×Ar-H), 6.74(dt, J=9 Hz, 2H, 2×Ar-H), 6.50(s, 1H, 16-H), 5.78(s, 2H, 2×18-H), 4.40(t, 1H, 1-H), 3.74(s, 3H, Ar-OCH <sub>3</sub> ), 3.40~2.90(m, 4H), 2.76(d, 1H), 2.64~2.00(m, 5H), 2.00~1.52(m, 4H)
IX <sub>5</sub> B	-Ph-OCH <sub>3</sub> -p	363	146~147	19.7	363(M <sup>+</sup> )	7.13(dt, J=9 Hz, 2H, 2×Ar-H), 6.80(dt, J=9 Hz, 2H, 2×Ar-H), 6.50(s, 1H, 16-H), 5.70(s, 2H, 2×18-H), 4.26(t, 1H, 1-H), 3.78(s, 3H, Ar-OCH <sub>3</sub> ), 3.40~2.86(m, 4H), 2.86~2.12(m, 4H), 2.12~1.50(m, 6H)
IX <sub>6</sub> A	-Ph-Cl-p	367	125~128	10.3	367(M <sup>+</sup> )	7.30~6.84(m, 4H, 4×Ar-H), 6.50(s, 1H, 16-H), 5.78(s, 2H, 2×18-H), 4.40(t, 1H, 1-H), 3.40~2.88(m, 4H), 2.80~2.45(m, 2H), 2.45~1.40(m, 8H)
IX <sub>6</sub> B	-Ph-Cl-p	367	141~143	27.9	367(M <sup>+</sup> )	7.35~7.13(m, 4H, 4×Ar-H), 6.55(s, 1H, 16-H), 5.74(s, 2H, 2×18-H), 4.29(t, 1H, 1-H), 3.36~2.80(m, 4H), 2.72~2.58(m, 2H), 2.41~2.17(m, 2H), 1.98~1.56(m, 6H)
IX <sub>7</sub> A	-Ph-(CH <sub>3</sub> ) <sub>3</sub> C-p	389	146~148	21.7	389(M <sup>+</sup> )	7.24(d, J=7 Hz, 2H, 2×Ar-H), 6.98(d, J=7 Hz, 2H, 2×Ar-H), 6.50(s, 1H, 16-H), 5.82(s, 2H, 2×18-H), 4.44(q, 1H, 1-H), 3.52~2.96(m, 4H), 2.92~1.60(m, 10H), 1.28(s, 9H, (CH <sub>3</sub> ) <sub>3</sub> C)

continued

Compd No	R	MW	MP /°C	Yield /% <sup>a</sup>	MS	<sup>1</sup> H NMR / δ
IX <sub>7</sub> B	-Ph-(CH <sub>3</sub> ) <sub>3</sub> C-p	389	224~226	40.4	389(M <sup>+</sup> )	7.32(d, J=7 Hz, 2H, 2×Ar-H), 7.12(d, J=7 Hz, 2H, 2×Ar-H), 6.52(s, 1H, 16-H), 5.74(s, 2H, 2×18-H), 4.30(t, 1H, 1-H), 3.60~3.08(m, 4H), 3.00~2.20(m, 6H), 2.10~1.40(m, 4H), 1.34(s, 9H, (CH <sub>3</sub> ) <sub>3</sub> C)
IX <sub>8</sub> A	-Ph-CH <sub>3</sub> -p	347	102~104	17.8	347(M <sup>+</sup> )	6.98(m, 4H, 4×Ar-H), 6.50(s, 1H, 16-H), 5.80(s, 2H, 2×18-H), 4.40(t, 1H, 1-H), 3.56~2.92(m, 4H), 2.84~2.48(m, 2H), 2.48~1.40(m, 8H), 2.30(s, 3H, Ar-CH <sub>3</sub> )
IX <sub>8</sub> B	-Ph-CH <sub>3</sub> -p	347	136~138	20.0	347(M <sup>+</sup> )	7.08(m, 4H, 4×Ar-H), 6.48(s, 1H, 16-H), 5.66(s, 2H, 2×18-H), 4.22(t, 1H, 1-H), 3.40~2.84(m, 4H), 2.84~2.06(m, 4H), 2.30(s, 3H, Ar-CH <sub>3</sub> ), 2.06~1.32(m, 6H)
IX <sub>9</sub> A	-Ph-(CH <sub>3</sub> ) <sub>2</sub> -o. p	361	174.5~176	23.6	361(M <sup>+</sup> )	6.96(s, 1H, Ar-H), 6.80(d, J=8.1 Hz, 1H, Ar-H), 6.52(s, 1H, 16-H), 6.48(d, J=8.1 Hz, 1H, Ar-H), 5.79(s, 2H, 2×18-H), 4.60(q, 1H, 1-H), 3.40~3.00(m, 4H), 2.42(s, 3H, Ar-CH <sub>3</sub> ), 2.28(s, 3H, Ar-CH <sub>3</sub> ), 2.00~1.40(m, 10H)
IX <sub>9</sub> B	-Ph-(CH <sub>3</sub> ) <sub>2</sub> -o. p	361	117.5~119	18.5	361(M <sup>+</sup> )	6.96(s, 3H, 3×Ar-H), 6.52(s, 1H, 16-H), 5.72(q, 2H, 2×18-H), 4.50(t, 1H, 1-H), 3.38~3.00(m, 4H), 3.00~2.50(m, 4H), 2.38(s, 3H, Ar-CH <sub>3</sub> ), 2.30(s, 3H, Ar-CH <sub>3</sub> ), 2.50~2.10(m, 1H), 2.10~1.30(m, 5H)
IX <sub>10</sub> A	-Ph-OCH <sub>3</sub> -p-Cl-m	397	172~174	11.6	397(M <sup>+</sup> )	7.06(d, 1H, Ar-H), 6.88(dd, J=9 Hz, 1H, Ar-H), 6.78(d, J=9 Hz, 1H, Ar-H), 6.48(s, 1H, 16-H), 5.78(s, 2H, 2×18-H), 4.34(t, 1H, 1-H), 3.80(s, 3H, Ar-CH <sub>3</sub> ), 3.50~2.88(m, 4H), 2.80~2.64(d, 1H), 2.64~2.46(d, 1H), 2.46~1.40(m, 8H)
IX <sub>10</sub> B	-Ph-OCH <sub>3</sub> -p-Cl-m	397	185~187	19.9	397(M <sup>+</sup> )	7.18(d, 1H, Ar-H), 7.05(dd, J=9 Hz, 1H, Ar-H), 6.81(d, J=9 Hz, 1H, Ar-H), 6.50(s, 1H, 16-H), 5.70(s, 2H, 2×18-H), 4.20(t, 1H, 1-H), 3.86(s, 3H, Ar-CH <sub>3</sub> ), 3.40~2.86(m, 4H), 2.86~1.36(m, 10H)
IX <sub>11</sub> A	-Ph-Br-p	411	130~132	10.0	411(M <sup>+</sup> )	7.32(d, J=9 Hz, 2H, 2×Ar-H), 6.92(d, J=9 Hz, 2H, 2×Ar-H), 6.50(s, 1H, 16-H), 5.78(s, 2H, 2×18-H), 4.38(t, 1H, 1H), 3.44~2.88(m, 4H), 2.88~1.40(m, 10H)
IX <sub>11</sub> B	-Ph-Br-p	411	118~120	15.6	411(M <sup>+</sup> )	7.30(d, J=9 Hz, 2H, 2×Ar-H), 7.05(d, J=9 Hz, 2H, 2×Ar-H), 6.50(s, 1H, 16-H), 5.70(s, 2H, 2×18-H), 4.22(t, 1H, 1H), 3.40~2.86(m, 4H), 2.86~1.32(m, 10H)
IX <sub>12</sub> A	-Ph-(OCH <sub>3</sub> ) <sub>2</sub> -o. m	393	161~163	9.8	393(M <sup>+</sup> )	6.79(d, J=9 Hz, 1H, Ar-H), 6.63(dd, J=9.3 Hz, 1H, Ar-H), 6.52(s, 1H, 16-H), 6.18(d, J=3 Hz, 1H, Ar-H), 5.78(s, 2H, 2×18-H), 4.38(q, 1H, 1-H), 3.82(s, 3H, Ar-OCH <sub>3</sub> ), 3.62(s, 3H, Ar-OCH <sub>3</sub> ), 3.16~2.86(m, 4H), 2.76(d, 1H), 2.58(d, 1H), 2.48~1.32(m, 8H)
IX <sub>12</sub> B	-Ph-(OCH <sub>3</sub> ) <sub>2</sub> -o. m	393	168~170	16.1	393(M <sup>+</sup> )	6.88~6.60(m, 3H, 3×Ar-H), 6.50(s, 1H, 16-H), 5.74(q, 2H, 2×18-H), 4.70(t, 1H, 1-H), 3.80(s, 3H, Ar-OCH <sub>3</sub> ), 3.70(s, 3H, Ar-OCH <sub>3</sub> ), 3.40~2.86(m, 4H), 2.86~2.52(m, 2H), 2.52~2.12(m, 2H), 2.12~1.40(m, 6H)
IX <sub>13</sub> A	-Ph-F-p	351	118~120	24.2	351(M <sup>+</sup> )	7.04~6.80(m, 4H, 4×Ar-H), 6.50(s, 1H, 16-H), 5.68(s, 2H, 2×18-H), 4.26(t, 1H, 1-H), 3.40~2.86(m, 4H), 2.86~1.36(m, 10H)
IX <sub>13</sub> B	-Ph-F-p	351	178~180	32.9	351(M <sup>+</sup> )	7.28~6.80(m, 4H, 4×Ar-H), 6.48(s, 1H, 16-H), 5.76(s, 2H, 2×18-H), 4.40(t, 1H, 1-H), 3.40~2.88(m, 4H), 2.80~1.40(m, 10H)

a. Isolated yield of diastereomer of the hydrogenation step.

将所合成的目标化合物 **IX<sub>1~13</sub>A, B** 进行药理抗溃疡筛选, 以西咪替丁(cimetidine)为对照, 实验模型为大鼠冷应激溃疡模型, 实验结果见表 2。从表 2 可以看出, 化合物大多数有一定的抗溃疡活性, 其中 **IX<sub>3</sub>A, IX<sub>7</sub>A, IX<sub>8</sub>A, IX<sub>12</sub>A, IX<sub>12</sub>B, IX<sub>13</sub>A** 6 个化合物有强的抗溃疡活性, 给药剂量为  $0.1 \text{ mmol} \cdot \text{kg}^{-1}$  时, 溃疡抑制率分别为 90.8%, 89.5%, 90.3%, 97.9%, 96.1%, 86.3%, 作用强于 cimetidine (给药剂量为  $0.16 \text{ mmol} \cdot \text{kg}^{-1}$  时, 溃疡抑制率为 75%)。但 **IX<sub>10</sub>A** 没有抗溃疡活性, **IX<sub>5</sub>A** 反

而增大溃疡面积。药理结果初步显示, 当 C<sub>1</sub> 取代基为脂肪链时, 随着碳链的延长, 脂环的扩大, 脂溶性增加, 抗溃疡活性减弱; 非对映异构 A 的抗溃疡活性普遍好于或相当于 B (**IX<sub>5,9,10</sub>** 例外); 取代苯环的活性优于苯环 (**IX<sub>5</sub>A, IX<sub>10</sub>A** 例外), 但由于化合物的数目有限, 结构和活性之间的规律难以归纳总结, 尚需合成更多的化合物或用抗溃疡其它模型进行进一步研究。药理结果进一步证明 C<sub>1</sub> 取代基及其立体构型对抗溃疡活性有明显影响, 取代基的细微改变可导致活性的增强或减弱, 甚至消失。

**Tab 2 Effect of IX<sub>1~13</sub>A and B given orally on gastric ulcer induced by cold-immersion stress in rats and on M<sub>1</sub> receptor binding *in vitro* in concentration of  $10^{-5} \text{ mol} \cdot \text{L}^{-1}$**

Compds No	Dose /mmol·kg <sup>-1</sup>	Ulcer inhibition/%	M <sub>1</sub> -receptor inhibition/%	Compds No	Dose /mmol·kg <sup>-1</sup>	Ulcer inhibition/%	M <sub>1</sub> -receptor inhibition/%
IX <sub>1</sub> A	0.15	77.9	75.1	IX <sub>8</sub> B	0.10	50.2	93.1
IX <sub>1</sub> B	0.15	62.3	58.3	IX <sub>9</sub> A	0.10	23.2	85.7
IX <sub>2</sub> A	0.15	37.7	39.2	IX <sub>9</sub> B	0.10	38.4	78.6
IX <sub>2</sub> B	0.15	36.4	15.5	IX <sub>10</sub> A	0.10	0	61.7
IX <sub>3</sub> A	0.10	90.8*	97.8	IX <sub>10</sub> B	0.10	40.8	62.4
IX <sub>3</sub> B	0.10	69.4	97.1	IX <sub>11</sub> A	0.10	70.9	84.9
IX <sub>4</sub> A	0.10	50.0	63.2	IX <sub>11</sub> B	0.10	26.7	69.5
IX <sub>4</sub> B	0.10	37.0	95.2	IX <sub>12</sub> A	0.10	97.9*	77.0
IX <sub>5</sub> A	0.10	—39.1	20.0	IX <sub>12</sub> B	0.10	96.1*	72.5
IX <sub>5</sub> B	0.10	3.1	83.3	IX <sub>13</sub> A	0.10	86.3	66.6
IX <sub>6</sub> A	0.10	51.4	88.9	IX <sub>13</sub> B	0.10	53.1	72.7
IX <sub>6</sub> B	0.10	25.6	88.4	IIA	0.22	100 <sup>[2]</sup>	
IX <sub>7</sub> A	0.10	89.5**	29.4	IIB	0.22	100 <sup>[2]</sup>	
IX <sub>7</sub> B	0.10	52.5	24.3	R=C <sub>6</sub> H <sub>5</sub> A	0.08	0 <sup>a</sup>	
IX <sub>8</sub> A	0.10	90.3*	92.6	Cimetidine	0.16	75	

*n*=5,  $\bar{x} \pm s$ . \*  $P < 0.05$ , \*\*  $P < 0.025$  compared with control; a. unpublished result.

药理结果还表明, 这类化合物与 M<sub>1</sub> 受体有一定的亲和力, 但抗溃疡活性的强弱与 M<sub>1</sub> 受体抑制率不完全成正比, 如 **IX<sub>3</sub>A** 和 **IX<sub>8</sub>A** 的溃疡抑制率高, M<sub>1</sub> 受体抑制率也高, 分别为 97.8% 和 92.6%, 但 **IX<sub>4</sub>B** 和 **IX<sub>8</sub>B** 的 M<sub>1</sub> 受体抑制率达到 95.2% 和 93.1%, 溃疡抑制率却仅为 37.0% 和 50.2%, “化学结构-受体结合力-抗溃疡作用”三者之间的相关性有待于进一步研究。

## 实验部分

熔点用 Boetius 显微熔点测定仪测定, 温度未校正。IR 用 Perkin-Elmer-683 型红外光谱仪测定, KBr 压片。MS 用 ZAB-2F 型质谱仪测定。<sup>1</sup>HNMR 用 Jeol FX-90Q 型核磁共振仪测定, TMS 为内标, 所用溶剂均为 CDCl<sub>3</sub> (无水 K<sub>2</sub>CO<sub>3</sub> 处理)。无水溶剂用金属钠回流处理。

### 1 烯胺 VI

将酰胺 **V** 1.05 g(4.32 mmol)溶于无水四氢呋喃 40 ml, 加入四氢铝锂 0.66 g(17.28 mmol), 回流反应 75 min, 冰水冷却下慢慢滴加水 0.5 ml 和四氢呋喃 6 ml 的混合液, 然后滴加 15% 氢氧化钠水溶液 0.6 ml, 搅拌 30 min, 过滤, 四氢呋喃洗涤滤渣, 滤液中加入适量 4 Å 分子筛, 室温迅速减压浓缩, 得白色固体烯胺 **VI**, 备用。

## 2 混合酸酐 **IV<sub>1</sub>**

$\alpha$ -酮酸钠盐 **III<sub>1</sub>** 1.4 g(7.77 mmol)、碳酸氢钠 0.65 g(7.77 mmol)与四氢呋喃 40 ml 混合, -8℃ 加入氯甲酸乙酯 0.92 ml(9.67 mmol), 维持-8℃ 反应 4 h, 得混合酸酐 **IV<sub>2</sub>** 粗产物。

混合酸酐 **IV<sub>2~13</sub>** 参照上述相同方法合成。

## 3 双酮 **VII<sub>1</sub>**

将上面制备的烯胺 **VI** 溶于四氢呋喃 15 ml, 连同分子筛一起加到混合酸酐 **IV<sub>2</sub>** 粗产物中, -5℃ 反应 4 h, 过滤, 滤液浓缩得棕红色粘稠物双酮 **VII<sub>2</sub>** 粗品, 不经分离直接用于下一步反应。

双酮 **VII<sub>2~13</sub>** 参照上述相同方法合成。

## 4 酮醇 **VIII<sub>1</sub>**

**VII<sub>1</sub>** 粗品溶于甲醇 15 ml, 盐酸酸化至 pH 2, 室温反应 1 h, 冰浴冷却下氨水碱化, 减压浓缩得棕红固体, 固体在乙酸乙酯中研细, 过滤, 适量乙酸乙酯洗涤, 经甲醇重结晶, 得黄色结晶 **VIII<sub>1</sub>** 0.67 g, 收率 42.1%, mp 177~179℃, 元素分析 C<sub>22</sub>H<sub>27</sub>NO<sub>4</sub>, 计算值%: C 71.52, H 7.36, N 3.79; 实验值%: C 71.55, H 7.50, N 3.93。IR(KBr)cm<sup>-1</sup>: 3300(OH), 1655(C=O); EI-MS m/z: 370(M<sup>+</sup>+1)。<sup>1</sup>HNMR δ ppm: 6.42(s, 1H, 16-H), 5.88(s, 2H, 2×18-H), 3.64~3.22(m, 6H), 3.04~2.90(m, 2H), 2.64(s, 1H, 1-OH), 2.20~1.80(m, 5H), 1.18(brs, 7H), 0.80(brt, 3H)。

化合物 **VIII<sub>2~4</sub>** 参照上述相同方法合成。**VIII<sub>5~13</sub>** 与上述方法相似, 仅将溶剂改为丙酮。**VIII<sub>2~13</sub>** 的收率、mp 分别为 **VIII<sub>2</sub>**: 53.0%, 172~173℃; **VIII<sub>3</sub>**: 50.9%, 165~167℃;

**VIII<sub>4</sub>**: 55.7%, 253~255℃(dec); **VIII<sub>5</sub>**: 87.2%, 135~137℃(dec); **VIII<sub>6</sub>**: 58.1%, 254~256℃(dec); **VIII<sub>7</sub>**: 44.5%, 190~192℃; **VIII<sub>8</sub>**: 26.8%, 240~242℃; **VIII<sub>9</sub>**: 57.6%, 166~167℃; **VIII<sub>10</sub>**: 31.6%, 236~238℃; **VIII<sub>11</sub>**: 44.7%, 246~248℃; **VIII<sub>12</sub>**: 48.3%, 265~267℃; **VIII<sub>13</sub>**: 53.4%, 250~252℃。

## 5 化合物 **IX<sub>2</sub>**

酮醇 **VIII<sub>2</sub>** 1.0 g(2.35 mmol)溶于甲醇 120 ml, 加入 70% 高氯酸 0.28 ml(3.45 mmol)和二氧化铂(含 1 分子水)0.08 g, 室温 2.5 kg·cm<sup>-2</sup> 压力下氢化 52 h。滤去催化剂, 滤液用氨水碱化, 减压浓缩, 残余物用二氯甲烷提取, 水洗 1 次, 无水硫酸镁干燥。过滤, 滤液浓缩得粗品。粗品经 VLC 分离(4% NaOH 碱化硅胶 GF<sub>254</sub> 13 g, 洗脱剂为石油醚—乙醚 10:1, 9:1, 8:1, 7:1, 6:1, 5:1, 4:1, 3:1, 2:1), 得到含 **IX<sub>2A</sub>** 和 **IX<sub>2B</sub>** 的混合部分。混合部分经 PTLC 分离(4% NaOH 碱化硅胶 GF<sub>254</sub> 板, 展开剂为乙醚—氨水 30:1)得到 **IX<sub>2A</sub>** 0.15 g, 收率 16.1%, mp 52~54℃。另得 **IX<sub>2B</sub>** 0.28 g, 收率 30.1%, mp 52~54℃。两部分总收率 46.2%。

化合物 **IX<sub>1A,B</sub>** 和 **IX<sub>3~13A,B</sub>** 参照上述相同方法合成。

## 参 考 文 献

- a. 中国医学科学院. 海南粗榧抗肿瘤有效成分的化学、药理及临床研究. 中华肿瘤杂志, 1979, 1:17  
b. 孙南君, 梁晓天. 抗癌有效成分海南粗榧新碱的研究. 药学学报, 1981, 16:24
- 张守仁, 崔光建, 徐瑞明, 等. 多环胺化合物 HH01 抗实验性大鼠胃溃疡作用. 药学学报, 1995, 30: 103
- a. Schreiber J. Preparation of aliphatic  $\alpha$ -oxo acids. *Chem Abstr*, 1957, 51:3457e  
b. Fissekis JD, Skinner CG, Shive W. Synthesis and biological activity of some cycloalkaneglyoxylic acids. *J Am Chem Soc*, 1959, 81:2715  
c. Boekelheide V, Schramm LM. Use of ketones in the Erlenmeyer azlactone synthesis. *J Org Chem*, 1949, 14:298

- d. Barnish IT, Cross PE, Danilewicz JC, *et al.*. Promotion of carbohydrate oxidation in the heart by some phenylglyoxylic acids. *J Med Chem*, 1981, **24**: 399
- e. Oehme G, Fischer G, Schellenberger. Zur Theorie der  $\alpha$ -Ketosäuren, XV IR-spektroskopische Untersuchungen der Stereochemie und Energieübertragung in Intramolekularen Wasserstoffbrücken Substituierter Phenylglyoxysäuren. *Chem Ber*, 1967, **100**:425
- f. Gupta VN, Seshadri TR. Synthesis of angolensin. *Chem Abstr*, 1957, **51**:7335g
- 4 Weinreb SM, Auerbach J. Total synthesis of the cephalotaxus alkaloids. Cephalotaxine, cephalotaxinone, and demethylcephalotaxinone. *J Am Chem Soc*, 1975, **97**:2503
- 5 Yin DL, Wang YH, Guo JY, *et al.*. Structures of hainanensine derivatives. *Chin Chem Lett*, 1993, **4**: 23

## SYNTHESIS AND ANTIULCER ACTIVITY OF 3,4-DIHYDRO-HAINANENSINE ANALOGS

Liu Ruiwu(Liu RW), Gao Yousong(Gao YS),  
Zhang Shouren(Zhang SR) and Liang Xiaotian(Liang XT)

( *Institute of Materia Medica, Chinese Academy of Medical Sciences and  
Peking Union Medical College, Beijing 100050* )

**ABSTRACT** In order to search for new compounds with new mode of action, high antiulcer activity and lower toxicity, 26(13 pairs of diastereoisomer A and B) 3,4-dihydro-hananensine analogs were synthesized. All compounds were tested in  $M_1$  receptor combined assay and gastric ulcer induced by cold-immersion stress in rats. Most compounds showed antiulcer activity, among them IX<sub>3</sub>A, IX<sub>7</sub>A, IX<sub>8</sub>A, IX<sub>12</sub>A, IX<sub>12</sub>B and IX<sub>13</sub>A exhibited more potent antiulcer activity than the control compound cimetidine. Meanwhile, the relationship between their structures and activity was discussed.

**KEY WORDS** 3,4-Dihydro-hainanensine analogs; Antiulcer activity; SAR studies